

建設省土木研究所 正員 野中 宏

〃 "

川名万寿雄

〃 "

荒木 隆進

## 1.はじめに

トンネル坑口からの騒音については、トンネル内を走行する車からの騒音が、解放条件で走行する場合のようには扱い難いとされ、それが集積されて坑口から大きなレベルとなって放射されるため、しばしば坑口周辺を問題となつてゐるものである。トンネル内に存在する車からの音、トンネル内の距離減衰や、それらを合成することで得られる坑口でのレベルがどうなうかは、実測が比較的容易であり、それから経験式も得られており、さらには、トンネル壁壁面での反射を多次に渡って計算することや、床下を伝搬する音の算出法等で求め得る。しかししながら、坑口周辺でのレベルがどうなうかといふ実際の予測において問題となるのは、この坑口から、どの方向へ、どのような形で放射されるか、あるいは、坑口からの距離減衰がいかなるものか、トンネルからの音がその範囲まで及ぶかといふことである。このトンネル坑口からの騒音放射指向性については、久野<sup>1)</sup>による回折理論と成響場、理論とを適用しての近似解等もあるが、実測、実験等による検証はほとんどない。ここに、それらの特性と、実用的予測方式の検討という立場から見て、無響室における縮尺模型実験、さらには、それをより確実なものとするために実物大実験用トンネルにおける人工音源を用いての実験を行つた。模型および実大トンネルの断面を図-1に示す。

## 2.実験結果

## (1). トンネル坑口よりの距離減衰

面音源よりの断面中心での距離減衰については、音源を指向性を有する点音源の集合と考えれば、理論的には、音源形状、指向性成分によらず、等価直径 $\frac{1}{4}$ 、距離で音源の単位面積あたりのパワーレベルは等しく、又、指向性が極端に強い場合を除いては、ほぼ等価直径に等しい距離以上で、倍距離 $\times 10$

するわち、点音源からの距離減衰係数を量することになる。図-2は模型実験の結果を示すが、壁面近くの受音ラインを除いては、面音源としての距離減衰計算値と一致した。実大トンネルの場合も、等価直径以遠に設定したここで、受音範囲では、音源位置の如何によらず、倍距離 $\times 10$ の距離減衰と一致した。

## (2). トンネル内距離減衰

トンネル内を走行する1台の自動車からの騒音のトンネル内の距離減衰については、既に幾つかの実測がされており、例えば、北海道開拓局<sup>2)</sup>の断面、異なる幾つかのトンネルでの調査例では、その減衰を $-10\log(d)$ の形で表

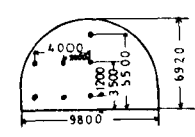
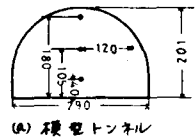


図1 トンネル坑口断面図  
(○:測定点, ×:予測)

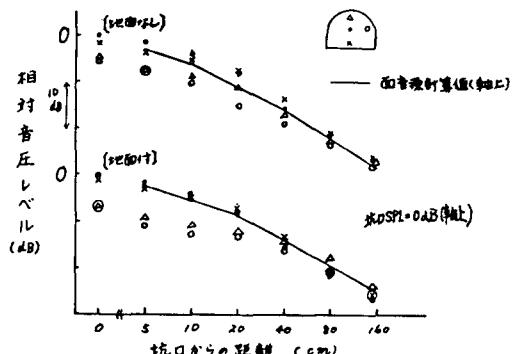


図2. 模型トンネル距離減衰 (ワードノイズ)

表-1. トンネル内距離減衰, 100 m当りの減衰係数

周波数 トンネル	250 Hz	500 Hz	1 KHz	ワードノイズ
実大トンネル	$-2.6(\text{dB}/100m)$	$-2.4(\text{dB}/100m)$	$-4.2(\text{dB}/100m)$	$-3.5(\text{dB}/100m)$
模型トンネル	-3.7	-6.7		-4.7

めしており、その係数  $a = 0.4 \sim 0.5$  としている。又、土木研究所<sup>3)</sup>の実測例もあり、それを同様の形で表わせば、その係数が約 0.5 ほどと同様の結果である。ここで行なってピーカ人工音での模型および実大トンネル実験結果は、最小自乗法により、レベル減衰の回帰直線を求め、100mあたりの減衰量として表示すれば表-1となる。すなはち、これを先の  $-aL^{\frac{1}{2}}$  の形で係数を求めれば 0.35 ～ 0.47 であり、ほど同様の結果である。開放条件の場合には 100mあたりで 40dB であり、トンネル内におけるその減衰量の非常に小さいことが判る。

### (3). トンネル坑口面音圧分布

音源の流域での位置あるいは音源の指向性等により、坑口での音圧分布がどのようにひらきを模型および実大実験によって検討した。図-3 に実大トンネルでの結果を示すが、模型実験、実大実験とともに、音源指向性あるいは音源の流域位置によらず、坑口断面中央付近より周辺面近傍よりの音圧が大きくなる傾向が得られる。従って、坑口面に仮想面音源を想定して周辺音圧の計算を行なう場合には、このトンネル坑口断面での音圧分布を考慮する必要があり、断面中央付近のレベルで代表させることは、坑口面音源パワー過大なことになる。

### (4). トンネル坑口よりの放射指向性状

トンネル坑口周辺のレベルを予測するにあたり、トンネル坑口面近くに仮想面音源を想定して、それからの音圧についてトンネル壁面での回折減衰計算をあてはめることなく、模型実験結果より、その放射指向パターント最も近似するような仮想面音源の最適位置と、それからまよさのくわす補正量とを求めて、その結果、各トンネル断面、坑口条件等により、最適仮想面音源位置にはほとんど差異がなく、坑口よりトンネル内 8 ～ 20m が適合幅が最も、最適位置は、坑内 15m (30 度とする実地盤算では面積の

結果を考慮して 5.8m となる) となる。そこで、この仮想面音源位置をあてはめて、トンネル坑口断面での回折減衰を計算して求められたものに対する補正量を各条件ごとに求めた結果、半円形で吸音性地面がある場合に、他の受音位置で小さな値となる以外は、各条件により全体大きな差異はない。その平均値は 5.5dB となる。実大トンネルでの坑口周辺放射指向性状の測定結果と、坑口からの受音距離、坑内音源位置ごとに、上述の(仮想面音源を設定して壁面での回折減衰計算を行なう)計算値による値や

久野らの近似理論値による値と対比して結果より、ワイトノイズを用いて、受音高が地上 3.5m の場合をもとめて図-4 に示す。ただし、代表周波数を 500Hz として計算を行なっている。実験値と計算値は比較的対応しており、その差異は、坑口から 6m の受音位置の場合、放射角度 70 ～ 90°、坑口から 18m の場合、50 ～ 80° で生じてみる。

本実験であり、御助力を頂いた本田公国企画開発部調査課の皆様に深謝申します。

- 1) 久野和宏：指向性騒音源強度による音圧分布について、日本音響学会誌、33巻5号、1977.5.
- 2) 兵庫道開発局土木試験所：トンネル坑口付近の交通騒音について、第1回兵庫道開発局技術研究委員会資料、1974.2.
- 3) 遠藤信三郎：トンネル騒音特性について、第13回土木研究所研究報告会資料、1975.3

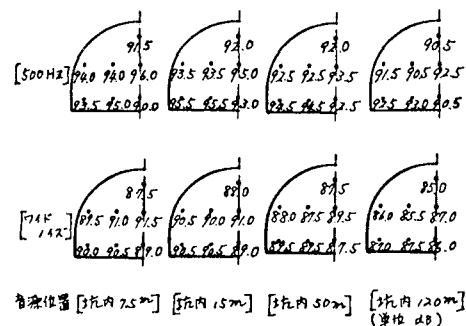


図-3 実大トンネル坑口の音圧分布 (音源: 公面反射型)

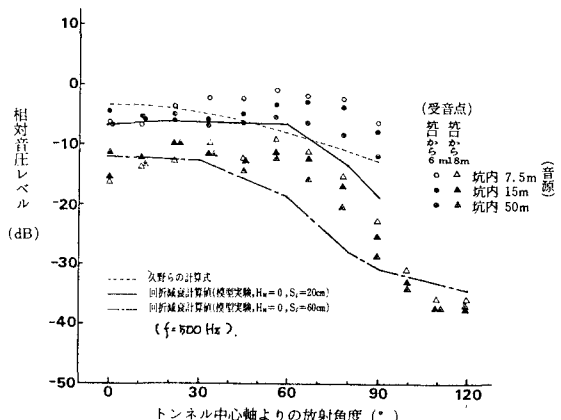


図-4 実大トンネル実験結果、トンネル坑口よりの騒音放射指向性状 (ワイトノイズ、受音点地上高 3.5m)